Claves de identificación de obreras de *Camponotus* Mayr, 1861 (Hymenoptera, Formicidae) de la Península Ibérica.





Fig. 1) Sutura mesopropodeal de C. lateralis

Fig. 2) Sutura mesopropodeal de C. foreli







Fig. 4) Mesosoma en vista lateral de C. vagus



Fig. 5) Clípeo de C. foreli



Fig. 6) Clípeo de C. lateralis



Fig. 7) Aspecto brillante de C. foreli

Fig. 8) Detalle de la reticulación de C. foreli



Fig. 9) Aspecto mate de C. amaurus

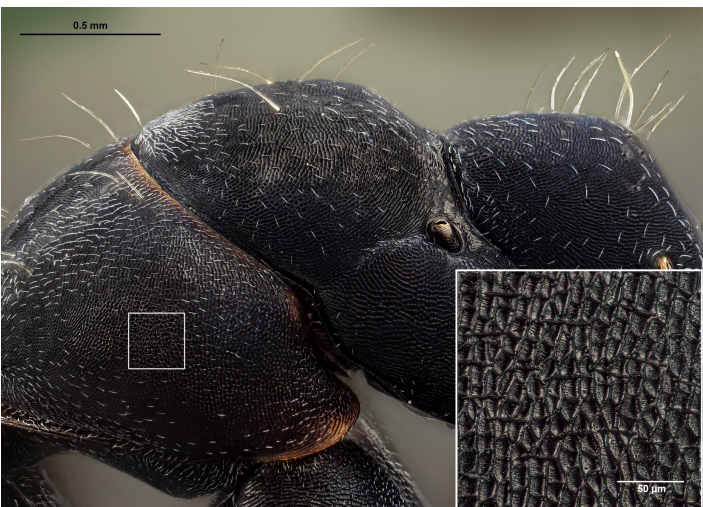


Fig. 10) Detalle de la mcroreticulación de C. amaurus

4. Cuerpo enteramente negro, aunque en ocasiones el pronoto puede ser castaño (fig. 11) piceus



Fig. 11) C. piceus en vista lateral

- Cabeza y generalmente la parte anterior del mesosoma de color rojizo (fig. 12) 5



Fig. 12) C. lateralis en vista lateral



Fig. 13) propodeo arqueado de C. lateralis



Fig. 14) propodeo de C. ruber



Fig. 15) A - escapo, B - tibia trasera de C. universitatis

Fig. 16) Cuerpo brillante de C. universitatis



Fig. 17) Quetas tumbadas en el escapo de C. gestroi



Fig. 18) Quetas erectas en las genas de C. pilicornis



Fig. 19) Ausencia de quetas erectas en las genas de C. sylvaticus



Fig. 20) propodeo de perfil elevado de C. gestroi



Fig. 21) mesosoma abombado de C. barbaricus

9. Todo el cuerpo negro uniforme. Pilosidad abundante en el gastro (fig. 22) aethiops



Fig. 22) Cuerpo negro con pilosidad abundante en gastro de C. aethiops







Fig. 24) Gastro poco piloso de C. barbaricus

10. Tibia trasera con un surco longitudinal muy marcado (Fig. 25). Primer tergito del gastro negruzco (fig. 26). Presente en el sur de la Península Ibérica (límite septentrional en Ciudad Real) e introducida en Mallorca





Fig. 25) Tibia trasera acanalada de C.barbaricus

Fig. 26) Gastro de C. barbaricus

- Tibia trasera sin surco longitudinal o muy poco marcado (Fig. 27). Zona basal del primer tergito del gastro



Fig. 27 Tibia trasera lisa de C. pilicornis

Fig. 28) Gastro de C. pilicornis



Fig. 29) clípeo con aspecto de visera de C. micans



Fig. 30) clípeo convexo de C. vagus





Fig. 31) Primer terguito del gastro liso de C. sylvaticus

Fig. 32) mesosoma marrón de C. sylvaticus



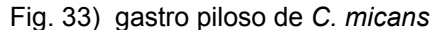




Fig. 34) mesosoma de C. cruentatus

13. Cuerpo enteramente grisáceo (fig. 35). Pilosidad en el gastro más densa (fig. 36) *micans, haroi** (*ver "notas" de C. haroi al final del documento)





Fig. 35) Cuerpo grisáceo de C. micans

Fig. 36) Pilosidad densa en el gastro de C. micans



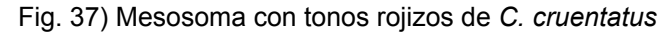




Fig. 38) Pilosidad dispersa en gastro de C. cruentatus



Fig. 39) Cuerpo negro y quetas blanquecinas de C. vagus

Cuerpo con tonos marrones o rojizos. Mesosoma en vista lateral con unas pocas quetas erectas (fig.40)

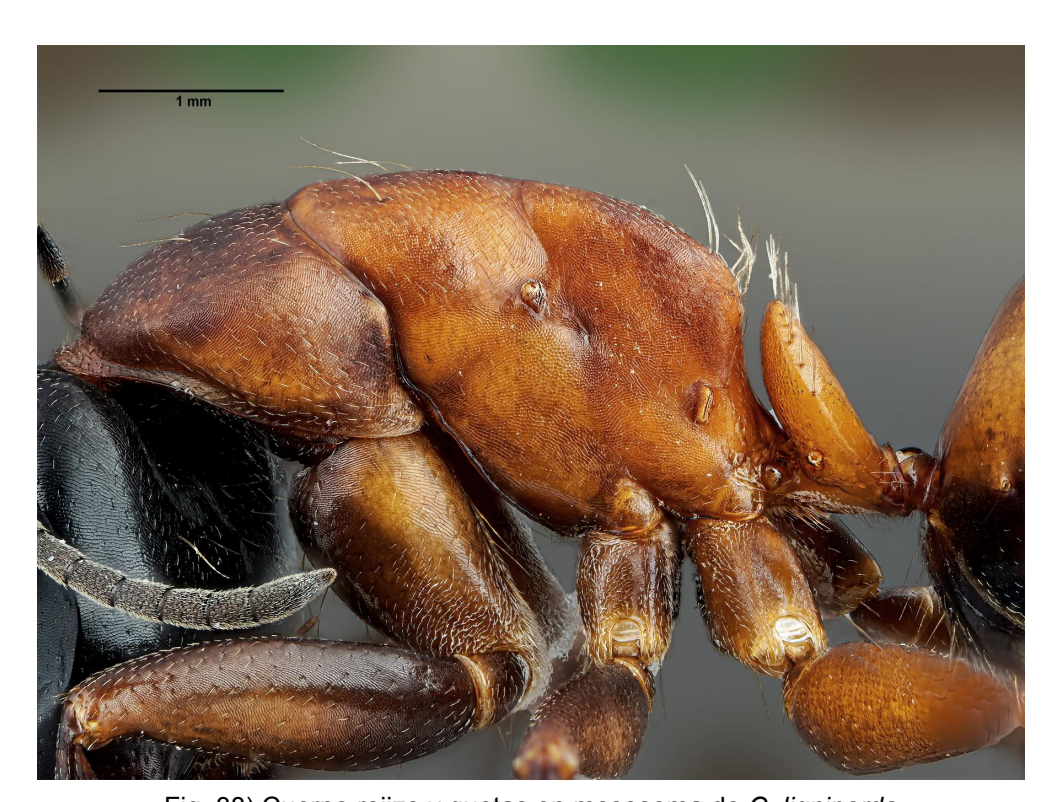


Fig. 38) Cuerpo rojizo y quetas en mesosoma de C. ligniperda

15. Clípeo marcadamente escindido, con una depresión central (fig. 41). Mesosoma típicamente marronáceo, con el pronoto ocasionalmente rojizo, y con las extremidades anaranjadas (fig. 42). Tamaño menor (4–7 mm)

fallax





Fig. 41) Clípeo escindido de C. fallax

Fig. 42) Mesosoma marronáceo de C. fallax







Fig. 44) Tonalidades rojizas de C. ligniperda





Fig. 45) Pubescencia corta y dispersa de C. ligniperda

Fig. 46) Primer terguito rojizo de C. ligniperda



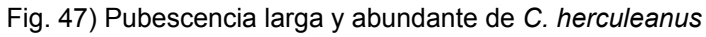




Fig. 48) Primer terguito oscuro de C. herculeanus

* Notas

No se han podido encontrar diferencias constantes entre ambas especies una vez analizado el material de la localidad tipo de C. haroi, por lo que se ha preferido no incluirla en las claves de identificación a la espera de estudiar con más detalle la separación entre ambas formas.

REFERENCIAS

Arcos, J.; Fede, G. 2023. Hormigas de la Península Ibérica y Baleares.

Fotografías © Paco Alarcón